

УДК 54.136.1

ХИМИЧЕСКАЯ ТЕХНОЛОГИЯ

А. А. ВАСИЛЬЕВ, Ю. А. ПОПОВ, Ю. В. АЛЕКСЕЕВ

**ВЛИЯНИЕ СТРУКТУРЫ ПОРИСТОГО ВОДОРОДНОГО ЭЛЕКТРОДА  
НА ЕГО ЭЛЕКТРОХИМИЧЕСКУЮ АКТИВНОСТЬ.  
МОДЕЛЬ УЛОЖЕННЫХ СФЕР**

(Представлено академиком И. В. Петряновым-Соколовым 8 IX 1970)

Потенциал  $\varphi$  пористого газодиффузионного электрода в модели уложенных сфер определяется следующим уравнением <sup>(1, 2)</sup>:

$$\begin{aligned} \bar{\chi} \frac{d^2\varphi}{dx^2} = \frac{vF^2n}{2RT} I(\varepsilon), \quad \varphi = \frac{2RT}{F} \varepsilon, \quad 0 \leq x \leq L; \\ \varphi(0) = \varphi_a, \quad d\varphi(L)/dx = 0, \end{aligned} \quad (1)$$

где  $\bar{\chi}$ ,  $n$ ,  $I(\varepsilon)$  — соответственно эффективная электропроводность, число зерен в  $\text{см}^3$  и ток на отдельное зерно,  $F$  — константа Фарадея,  $v$  — число электронов в каждом акте электрохимической реакции.

Вычисление  $\bar{\chi}$  и  $I(\varepsilon)$  проведено в <sup>(3)</sup> с учетом зависимости этих величин от радиуса зерна  $R$ , условий равновесия жидкой и газовой фаз, упаковки сфер, толщины пленки  $\Delta$  и сферического пористого слоя  $\Delta_1$  (каждое зерно предполагается частично или полностью пористым). В <sup>(3)</sup> показано, что несмотря на наличие менисков на каждой сфере вся ее поверхность практически равнодоступна в диффузионном отношении. Поэтому с большой точностью можно считать, что  $I(\varepsilon) \approx \frac{DC_0}{\Delta} \left(1 + \frac{\Delta}{R}\right)$

$[1 - C_\Sigma(\varepsilon)]$ ,  $C_0$  — равновесная концентрация водорода,  $C_\Sigma$  — его концентрация (обезразмеренная по  $C_0$ ) на границе пленки и слоя, найденная в <sup>(3)</sup> как функция параметров  $R$ ,  $\Delta$ ,  $\Delta_1$ , тока обмена  $i_0$  и удельной внутренней поверхности слоя  $S$ .

Плотность тока с видимой поверхности  $I_t$  находится при помощи (1) и имеет вид:

$$\begin{aligned} I_t = \sqrt{\frac{4RT}{F} v C_0 D \frac{\bar{S} \bar{\chi}}{\Delta} \left(1 + \frac{\Delta}{R}\right)} \chi_S; \quad \chi_S = \sqrt{F(\varepsilon_a) - F(\varepsilon_L)}, \\ F(\varepsilon) = \int_0^\varepsilon [1 - C_\Sigma(\varepsilon')] d\varepsilon, \end{aligned} \quad (2)$$

где  $\varepsilon_L = \varepsilon(L)$ ,  $\bar{S}_{\text{куб}} = \pi / 2R$ ,  $\bar{S}_{\text{рек}} = \pi / R\sqrt{2}$ . Остаточный потенциал  $\varepsilon_L$ , характеризующий при данном  $L$  глубину проникновения электрохимического процесса, определяется интегральным соотношением:

$$\int_{\varepsilon_L}^{\varepsilon} \frac{d\varepsilon}{\sqrt{F(\varepsilon) - F(\varepsilon_L)}} = aL\sqrt{2}, \quad a = \sqrt{\frac{\bar{S}}{\bar{\chi}} \frac{F}{2RT} \frac{vFD C_0}{\Delta}}. \quad (3)$$

С помощью (2), (3) можно также установить зависимость  $I_t$  от толщины электрода  $L$  и вычислить глубину проникновения  $L_0$  электрохимического процесса в его объем. Определим для этого  $L_0$  как минимальное значение  $L$ , при котором отношение  $I_t$  к плотности тока насыщения  $I_n =$

Таблица 4

Зависимость оптимальной плотности тока  $I_t$  ( $\text{Мэ/см}^2$ ) и глубины проникновения  $L_0$  (см) от  $R$ ,  $i_0$ ,  $\Delta$ ,  $\Delta_1$  (при  $S = 10^6 \text{ см}^{-1}$ ,  $\varepsilon_a = 1,6$ )

$R, \mu$	$\Delta = 40^{-6} \text{ см}$						$\Delta = 3,3 \cdot 10^{-6} \text{ см}$					
	$i_0 = 10^{-6} \text{ а/см}^2$			$i_0 = 10^{-4} \text{ а/см}^2$			$i_0 = 10^{-6} \text{ а/см}^2$			$i_0 = 10^{-4} \text{ а/см}^2$		
$a^*$	б	в	а	б	в	а	б	в	а	б	в	а
Кубическая упаковка												
3	$\frac{8,73}{1,19}$	$\frac{425}{338}$	—	$\frac{87,5}{0,119}$	$\frac{1140}{0,063}$	—	$\frac{18,4}{2,36}$	$\frac{133}{0,40}$	—	$\frac{184}{0,236}$	$\frac{1240}{0,06}$	—
10	$\frac{2,50}{1,17}$	$\frac{62,7}{0,37}$	$\frac{190}{0,26}$	$\frac{24,9}{0,117}$	$\frac{445}{0,074}$	$\frac{590}{0,107}$	$\frac{5,02}{2,37}$	$\frac{67,0}{0,49}$	$\frac{200}{0,25}$	$\frac{50,0}{0,237}$	$\frac{465}{0,08}$	$\frac{640}{0,11}$
30	$\frac{0,81}{1,15}$	$\frac{22,2}{0,36}$	$\frac{90,0}{0,29}$	$\frac{97,7}{0,56}$	$\frac{8,06}{0,115}$	$\frac{144}{0,078}$	$\frac{308}{0,435}$	$\frac{1,59}{2,29}$	$\frac{93,0}{0,36}$	$\frac{98,8}{0,29}$	$\frac{15,8}{0,54}$	$\frac{154}{0,085}$
50	$\frac{0,48}{1,14}$	$\frac{12,6}{0,33}$	$\frac{60,2}{0,29}$	$\frac{69,5}{0,63}$	$\frac{4,93}{0,114}$	$\frac{78,8}{0,071}$	$\frac{170}{0,152}$	$\frac{0,87}{2,27}$	$\frac{61,6}{0,35}$	$\frac{69,6}{0,31}$	$\frac{87,5}{0,23}$	$\frac{144}{0,144}$
70	$\frac{0,34}{1,14}$	$\frac{9,40}{0,34}$	$\frac{56,0}{0,29}$	$\frac{44,2}{0,74}$	$\frac{3,38}{0,29}$	$\frac{56,5}{0,114}$	$\frac{123}{0,070}$	$\frac{0,63}{0,224}$	$\frac{9,90}{0,35}$	$\frac{45,0}{0,31}$	$\frac{56,2}{0,74}$	$\frac{62,1}{0,08}$
Гексагональная упаковка												
10	$\frac{4,25}{1,52}$	$\frac{105}{0,44}$	$\frac{326}{0,25}$	$\frac{42,5}{0,152}$	$\frac{710}{0,092}$	$\frac{1010}{0,135}$	—	$\frac{7,90}{2,70}$	$\frac{110}{0,61}$	$\frac{328}{0,26}$	—	$\frac{79,0}{0,27}$
30	$\frac{1,55}{1,12}$	$\frac{43,8}{0,34}$	$\frac{240}{0,29}$	$\frac{215}{0,56}$	$\frac{15,5}{0,112}$	$\frac{275}{0,072}$	$\frac{603}{0,158}$	$\frac{3,05}{2,13}$	$\frac{48,3}{0,35}$	$\frac{242}{0,30}$	$\frac{30,4}{0,56}$	$\frac{248}{0,24}$
50	$\frac{0,79}{1,39}$	$\frac{24,2}{0,39}$	$\frac{107}{0,35}$	$\frac{129}{0,83}$	$\frac{7,86}{0,439}$	$\frac{132}{0,085}$	$\frac{300}{0,188}$	$\frac{4,50}{2,53}$	$\frac{23,2}{0,41}$	$\frac{109}{0,36}$	$\frac{131}{0,83}$	$\frac{15,0}{0,25}$
70	$\frac{0,60}{1,39}$	$\frac{14,9}{0,39}$	$\frac{70,5}{0,33}$	$\frac{92,8}{0,83}$	$\frac{5,55}{0,140}$	$\frac{93,0}{0,083}$	$\frac{195}{0,175}$	$\frac{1,04}{0,26}$	$\frac{20,5}{0,40}$	$\frac{71,0}{0,34}$	$\frac{10,3}{0,25}$	$\frac{197}{0,09}$

\*  $a - \Delta_1 = 0$ ,  $b - \Delta_1 = 2$ ,  $v - \Delta_1 = 10$ ,  $r - \Delta_1 = 30$ .

П р и м е ч а н и я. Число под чертой — значение  $I_t$ , под чертой —  $L_0$ .

$= \lim I_t(L)$  отличается от единицы на малую величину  $\alpha$ , т. е.

$$I_t(L_0) / I_{\text{в}} \geq 1 - \alpha, \quad \alpha \ll 1. \quad (4)$$

Поскольку изменение  $L$  влияет лишь на фактор  $\chi_s$  (см. (2)), то используя (2) нетрудно показать, что (4) выполняется, если

$$F(\varepsilon_{L_0}) / F(\varepsilon_a) \leq 2\alpha \quad (5)$$

(для этого достаточно учесть, что при  $L \sim L_0$  отношение  $F(\varepsilon_{L_0}) / F(\varepsilon_a)$  мало и  $\chi_s$  можно разлагать в ряд). С помощью (5) нетрудно найти  $L_0$  при различных фиксированных  $\alpha$ .

Оптимальные плотности токов  $I_t = I_t(R, \Delta_1)$ , найденные согласно (2) — (5) при  $\alpha = 0,05$ , и соответствующие значения  $L_0$  приведены в табл. 1 ( $DC_0 = 10^{-11}$  мол/см·сек.,  $T = 100^\circ\text{C}$ ,  $\varepsilon_a = 1,6$  т. е.  $\Phi_a = 0,1$  в.).

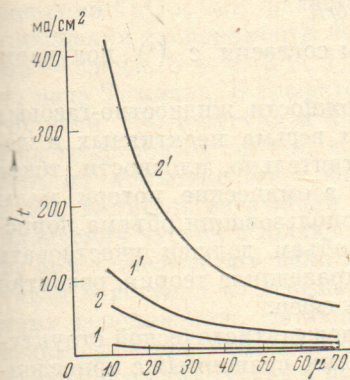


Рис. 1

Рис. 1. Зависимость оптимальной плотности тока  $I_t$  от  $R$  при различных  $S, i_0$  ( $\Delta = 10^{-5}$  см;  $\Delta_1 = 2 \cdot 10^{-5}$  см;  $L = L_0$ ).  $1, 1' - S = 10^4$  см<sup>-1</sup>;  $1 - i_0 = 10^{-6}$ ;  $1' - i_0 = 10^{-4}$  а/см<sup>2</sup>;  $2, 2' - S = 10^6$  см<sup>-1</sup>;  $2 - i_0 = 10^{-6}$  а/см<sup>2</sup>;  $2' - i_0 = 10^{-4}$  а/см<sup>-2</sup>

Рис. 2. Зависимость безразмерной плотности тока  $I_t(L) / I_t(L_0)$  от безразмерной толщины электрода  $L / L_0$  при различных значениях параметра  $\beta_0 = l_{\text{диф}} / \Delta$ :  $1 - \beta_0 \leq 0,5$ ;  $2 - \beta_0 = 1$ ;  $3 - \beta_0 \geq 5$ ;  $4 - \Delta_1 = 0$

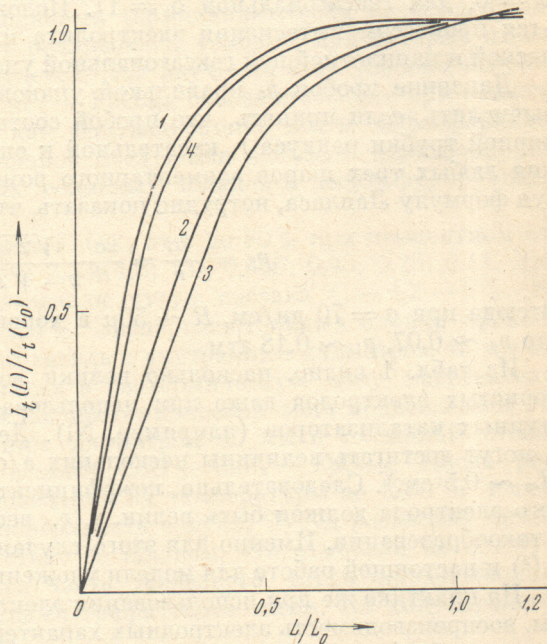


Рис. 2

Проанализируем подробнее влияние основных структурных и кинетических факторов на величину тока. Зависимость  $I_t$  от  $R$  при различных толщинах слоя  $\Delta_1$  определяется величиной фактора  $\omega = (\Delta + g\Delta_1) / R$ . Если  $\omega < 0,3$ , то  $I_t \sim 1 / R$ , а для  $\omega < 0,3$   $I_t \sim 1 / \sqrt{R}$ . Легко далее видеть, что при  $R \leq 15\mu$  наличие слоя увеличивает ток в 15—25 раз. С ростом  $S, i_0$  эффект усиливается. В связи с этим возникает вопрос об оптимальной величине  $\Delta_1$ , о целесообразности изготавливать полностью пористые зерна ( $\Delta_1 = R$ ). Чтобы выяснить это, рассмотрим зависимость  $I_t$  от  $\Delta_1$  при различных  $R$ . Она наиболее сильна в интервале значений  $\Delta_1 \leq 10\mu$ . С возрастанием  $\Delta_1$  эта зависимость ослабевает, ибо пористый слой используется уже не полностью. Объясняется это тем, что  $\Delta_1$  становится больше глубины проникновения газа в слой (3), а омические потери уменьшаются при этом настолько, что дальнейшее увеличение  $\Delta_1$  слабо влияет на их величину.

чину. Поэтому при значениях  $S$ ,  $i_0$  и  $\Delta$ , соответствующих табл. 1, нецелесообразно делать слой толще  $10\mu$  (естественно, если  $R > 10\mu$ ). Кривые рис. 1, характеризующие влияние на величину  $I_t$  удельной поверхности слоя  $S$  и тока обмена  $i_0$ , показывают, что увеличение одного из этих параметров на два порядка приводит к росту  $I_t$  в 3—5 раз.

На рис. 2 приведены зависимости плотности тока от безразмерной толщины электрода. Зависимость  $I_t$  от условия равновесия жидкости и газа для электрода из сферических зерен (<sup>4</sup>) характеризуется наличием интервала значений перепада давлений ( $p_0, p_1$ ), на котором ток интенсивно возрастает. Это связано с тем, что структуре реального электрода соответствует набор различных упорядоченных упаковок шаров. Каждая из них определяется параметрами  $\delta_1, \delta_2, \delta_3$ , равными по величине сдвигу центров шаров в координатных плоскостях (для кубической упаковки  $\delta_i = 0$ , для гексагональной  $\delta_i = 1$ ). Положение точек  $p_0$  и  $p_1$  определяется процессом вытеснения электролита из пор, соответствующих кубической и наилучшей гексагональной упаковкам.

Давление пробоя  $p_b$  правильной упаковки (для которой  $\delta_i = \delta$ ) легко вычислить, если принять, что пробой соответствует освобождению капиллярной трубки радиуса  $r$ , касательной к окружностям центрального сечения любых трех шаров элементарного ромбоэдра этой упаковки. Используя формулу Лапласа, нетрудно показать, что

$$p_\delta = \frac{2\sigma}{r} = \frac{2\sigma}{R} \frac{\sqrt{2 + \delta/R}}{2 - \sqrt{2 + \delta/R}}.$$

Отсюда при  $\sigma = 70$  дн/см,  $R \sim 50\mu$  в хорошем согласии с (<sup>4</sup>) получаем, что  $p_0 \sim 0,07$ ,  $p_1 \sim 0,18$  атм.

Из табл. 1 видно, насколько велики возможности жидкостно-газовых пористых электродов даже при использовании весьма неактивных и доступных катализаторов (например, Ni). Действительно, плотности токов  $I_t$  могут достигать величины нескольких а/см<sup>2</sup>, а омические потери малы ( $L_0 \sim 0,5$  см.). Следовательно, коэффициент использования объема пористого электрода должен быть велик, т. е. весь объем должен участвовать в токообразовании. Именно для этого случая справедлива теория, развитая в (<sup>3</sup>) и настоящей работе для модели уложенных сфер.

На практике же при использовании электродов статистической структуры, воспроизводимость электродных характеристик, сравнимых с приведенными в табл. 1, мала. Как правило, статистические структуры при значениях  $S$  и  $i_0$ , соответствующих 1, генерируют несравненно меньшие плотности токов. Следовательно, коэффициент использования объема  $V$  в случае статистических структур не может быть большим, т. е. основная его доля, по-видимому, выключается из процесса токообразования, является дефектной. Причиной этого может служить нарушение непрерывности процессов переноса в объеме  $V$ , вызванное наличием дефектов в хаотической структуре пористого пространства.

Не затрагивая в настоящей работе этот сложный вопрос, отметим в заключение, что бездефектность в указанном выше смысле может быть достигнута регуляризацией, упорядочением (хотя бы частичным) структуры электрода. Это подтверждают экспериментальные данные (<sup>4</sup>), полученные на пористом электроде из зерен сферической формы.

Физико-химический институт  
им. Л. Я. Карпова  
Москва

Поступило  
22 VII 1970

#### ЦИТИРОВАННАЯ ЛИТЕРАТУРА

<sup>1</sup> Ю. А. Чизмаджев, Ю. Г. Чирков, В. П. Белокопытов, Электрохимия, 2, 373 (1966). <sup>2</sup> Ю. А. Чизмаджев, Электрохимия, 2, 3 (1966). <sup>3</sup> Ю. А. Попов, А. А. Васильев, Ю. В. Алексеев, ДАН, 194, № 4 (1970); 197, № 6 (1971). <sup>4</sup> Ю. И. Головкин, Н. П. Василистов и др., Электрохимия, 5, 166 (1969).